

착상기간의 자궁내 환경이 생쥐 난자 및 배아의 투명대 미세구조에 미치는 영향

한양대학교 자연과학대학 생명과학과¹, 한양대학교 의과대학 해부학교실², 을지대학교
의과학연구소³, 을지대학교 의과대학 생리학교실⁴, 경기대학교 이과대학 생물학과⁵,
이화여자대학교 의과대학 의학과⁶

한성원^{1,3} · 정호삼² · 강희규³ · 이호준^{3,4} · 계명찬⁵ · 김성례⁶ · 김문규¹

The Effect of Uterine Environment during Peri-implantation Period on the Ultrastructure of Zona Pellucida in Mouse Oocytes and Embryos

Sungwon Han^{1,3}, Ho Sam Chung², Hee-Gyoo Kang³, Ho Joon Lee^{3,4}, Myung Chan Gye⁵,
Sung Rye Kim⁶ and Moon Kyoo Kim¹

Department of Life Science, College of Natural Sciences, Hanyang University, Seoul 133-791,
Korea¹, Department of Anatomy, College of Medicine, Hanyang University, Seoul 133-791,
Korea², Eulji Medical Science Institute, Eulji Medical Center, Seoul 139-711, Korea³,
Department of Physiology, School of Medicine, Eulji University, Taejon 301-112, Korea⁴,
Department of Biology, College of Natural Sciences, Kyonggi University, Suwon 442-760,
Korea⁵, Department of Medicine, College of Medicine, Ewha Womans University, Seoul
120-750, Korea⁶

In the studies on the hatching mechanisms in mammals, many investigators focused on the embryonic intrinsic factor(s) in *in vitro* culture, but the uterine environment as the extrinsic factor(s) is thought to play an important role in hatching mechanism. Therefore, to evaluate the effect of uterine environment on the hatching event *in vivo*, the immature(GV) and ovulated(MII) oocytes, and the late 2-cell embryos of mouse were transferred to pseudopregnant foster mother's uterus during peri-implantation period. So it was verified whether there would happen hatching by only uterine environment independently on embryonic stage. The ultrastructural changes of the zona surface of transferred group were compared with those of *in vivo* and *vitro* group by SEM. 36 hrs after transfer, the immature and ovulated oocytes almost degenerated, and the late 2-cell embryos developed to various embryonic stages. However, the embryos which didn't develop to blastula stage did not hatch. The ultrastructural network of ZP in transferred group seemed to be smoothed uniformly, which was different from *in vitro* group. In conclusion, it is suggested that the uterine environment during peri-implantation period enhances the embryo hatching by provoking the structural change of ZP.

Key Words: Hatching, Mouse embryos, Zona pellucida (ZP), Uterus, SEM

*연락처: 김문규, 서울시 성동구 행당동 산 17번지 한양대학교 자연과학대학 생명과학과
Tel: 02-2290-0954, Fax: 02-2295-1960, Email: kimmk@email.hanyang.ac.kr

수정 후 포유류의 초기 배아는 밀집화 (compaction), 포배형성 (blastocyst formation), 부화 (hatching), 착상 (implantation) 등 역동적인 여러 사건을 통해 하나의 개체로 발생한다. 특히 배아가 투명대 (zona pellucida, ZP)로부터 이탈하는 부화현상은 배아가 모체의 자궁내막에 착상하기 위해서 선행되어야만 하는 중요한 사건이다.

투명대는 포유류의 난자가 분비하여 형성되는 당단백질 (glycoprotein)의 두꺼운 막으로서 성장시기 중 2차 난포 (secondary follicle) 시기에 형성되어 난자가 성숙하면서 복잡한 구조로 변화한다. 또한 종에 따라 당단백질의 종류와 구조는 다양하며 생쥐의 경우 ZP1 (200 kD), ZP2 (120 kD)와 ZP3 (83 kD) 등 3 종류의 당단백질로 구성되어 있다 (Wassarman, 1988). 투명대는 수정 직후 피질반응 (cortical reaction)과 투명대반응 (zona reaction)을 통해서 생화학적 구조가 변화하여 다수정 (poly-spermy)을 방지하고, 배아를 외부 환경으로부터 보호하며, 배아의 형상을 유지시켜 준다.

부화는 포배강의 확장에 의한 팽압의 증가와 특정 단백질 분해효소에 의한 투명대 용해에 의해 일어나는 것으로 알려져 있다 (Pinsker *et al.*, 1974; Perona and Wassarman, 1986). 그러나, 일부 보고에 의하면 팽압은 부화하는 무관하며 주로 단백질 분해효소 등에 의해 투명대가 용해되는 것이 부화의 주된 기작이라고 알려져 있다 (Gordon and Dapunt, 1993; Cheon *et al.*, 1997).

부화에 관련된 여러 가지 단백질 분해효소들은 이미 극피동물 (Yasumasu, 1961; Edwards *et al.*, 1977), 양서류 (Caroll and Hedrick, 1974; Katagiri, 1976), 과충류 (Yamagami, 1972) 등에서 잘 알려져 있다. 생쥐의 경우, 모체의 자궁액에는 단백질 분해효소가 존재하며 (Pinsker *et al.*, 1974), 포배의 영양외배엽 (trophoectoderm)에서 분비하는 trypsin과 유사한 단백질 분해효소 (trypsin-like proteinase)인 strypsin이 부화를 유도하는 것으로 보고되었다 (Perona and Wassarman, 1986; Sawada *et al.*, 1990). 그리고 착상시기에 포배의 영양외배엽이 분비하는 효소의 일종인 tissue type plasminogen activator (t-PA)는 착상시에는 trypsin 유사 효소의 기능을 가지고 있다 (Strickland *et al.*, 1976).

체외 (*in vitro*)에서 배양한 배아의 부화기작과 체내 (*in vivo*)에서의 부화기작은 상당히 다른 것으로 알려져 있다. 배양상태에서 투명대는 배아에 의해 찢겨진 후 빈 투명대 (ghost ZP, shed ZP)

가 그대로 남아있게 되지만 체내에서 부화가 진행된 경우에는 빈 투명대는 사라지게 된다 (McLaren, 1970). 이는 자궁에서 분비한 lysis과 같은 단백질 분해효소에 의해 용해되는 것이라고 추정된다. 특히 hamster의 경우 자궁에서 분비하는 proteolysin이 능동적으로 부화에 관여하는 것으로 보고되었다 (Gonzales and Bavister, 1995). 그러나 생쥐의 경우 자궁의 환경보다는 산소유리기 (oxyradical) (Thomas *et al.*, 1997)나 여러 단백질 분해효소 등과 같은 배아 자체의 요인에 의해서 투명대를 직접 용해하는 것으로 보고되고 있고 (Perona and Wassarman, 1986; Confino *et al.*, 1997), 배아와 자궁의 상호 조절에 의한 기작이라는 중론적인 의견이 제시되고 있다 (McLaren, 1970; Gonzales and Bavister, 1995).

많은 종 (species)에서 배아의 부화에 대한 연구가 진행되었지만 생체내에서의 연구는 부진한 상태이다. 그 이유는 생쥐의 경우처럼 비교적 짧은 몇 시간 동안에 부화가 일어나고 투명대의 용해 (lysis)와 부화현상이 거의 동시에 일어나기 때문이다 (McLaren, 1970).

본 연구에서는 자궁내 환경이 투명대 미세구조의 변화에 미치는 영향을 조사하기 위해 자궁과 시기적으로 일치하지 않는 난자와 초기 배아를 착상기간의 자궁내로 이식하여 배아의 발생시기와 부화의 관계와 그리고, 자궁에서 분비하는 lysis 같은 효소들이 부화를 어떻게 일으키는지를 알아보기 하였다. 또한 주사전자현미경 (scanning electron microscope)을 이용하여 이들 이식군의 투명대 외면 (surface)의 미세구조 변화를 정상군 및 체외배양군과 비교 관찰하였다.

연구 대상 및 방법

1. 난자 및 배아의 획득

실험동물은 광주기를 명 (light) 14시간, 암 (dark) 10시간으로 조절하고, 물과 먹이를 충분히 공급하여 사육된 생쥐 (Swiss Albino, ICR)로서 생후 8~10주된 암컷과 10주 이상된 수컷을 사용하였다. 난자와 배아의 획득을 위한 모든 생쥐들은 경추파괴로 도살하였다. 난자와 배아의 수집을 위한 기본 배양액으로는 0.4%의 bovine serum albumin (BSA)이 함유된 Hepes-buffered Medium 2 (M2+BSA; Fulton and Whittingham, 1978)를 사용하였다.

미성숙 난자 (GV stage oocyte) 획득은 암컷의

복강에 pregnant mare's serum gonadotropin (PMSG, Sigma) 5 IU를 복강 주사한 후 45~46시간에 난소를 적출하고 M2 배양액으로 세척하여 혈액을 제거한 다음 해부현미경 (Wild, M5) 시야에서 예리한 바늘로 난포 (follicle)를 터뜨려 핵막 (germinal vesicle, GV)이 보이는 난자만을 수획하였다.

배란 난자 (MII stage oocyte)는 복강에 PMSG 5 IU를 주사한 후 48시간 만에 human chorionic gonadotropin (hCG, Sigma) 5 IU를 주사하여 과배란을 유도하고, hCG 주사 후 19~20시간 만에 수란관의 팽대부에서 난자-난구복합체 (oocyte-cumulus complex)를 적출한 다음, 0.3 mg/ml의 hyaluronidase (Sigma)로 난구세포 (cumulus mass)를 녹여내어 수획하였다.

후기 2-세포기 배아의 획득은 암컷에 PMSG와 hCG를 48시간 간격으로 5 IU씩 복강 주사하여 과배란을 유도한 뒤 수컷과 합사시켰고, 다음 날 질전 (vagina plug)이 확인된 암컷들에게 hCG 주사 후 (post hCG injection) 47~48시간 만에 수란관을 적출하여 M2+BSA 배양액으로 관류시켜 2-세포기의 배아만을 수획하였다.

획득한 난자 및 배아는 3%의 BSA를 함유한 KSOM 배양액 (Lawitts and Biggers, 1993)이 담긴 조직배양접시 (tissue culture dish, 60×15 mm, Corning 25010)로 옮긴 다음, 대리모의 자궁으로 이식하거나 배양하였다.

2. 대리모의 가임신 유도

대리모 (foster mother)를 얻기 위하여 암컷 생쥐를 2주 전에 미리 수란관 (oviduct)을 결찰 (ligation)하였고, 가임신 (pseudopregnancy)을 유도하기 위해서 PMSG 5 IU와 hCG 5 IU를 48시간 간격으로 복강 주사하여 배란을 유도시킨 다음 수컷과 합사시켰다. 다음 날 오전에 질전이 발견된 암컷만을 선별하여 대리모 (foster mother)로 사용하였다.

3. 난자 및 배아의 이식 (oocyte/embryo transfer)

대리모로 사용할 암컷 생쥐가 hCG 주사 후 75~76시간이 되었을 때 2.5% Avertin을 체중 1 g당 0.014 ml의 기준으로 복강 주사하여 마취시키고 등쪽으로 절개하여 자궁을 꺼냈다. 바늘 (26 gauge)로 좌우 자궁의 상단부에 구멍을 낸 후 미리 준비된 공여 난자나 배아를 glass micropipette를 이용하여 각각의 자궁각 상부에 10개씩 이식하였다.

4. 정상군 및 이식군의 수획

정상군 (*in vivo* group)은 배란을 유도하여 수컷과 합사시킨 후 질전이 확인된 암컷에서 획득하였다. hCG 주사 후 96~112시간 사이에서 자궁을 적출한 후 자궁경부로부터 1 ml의 phosphate buffered saline (PBS, pH 7.2)을 3회 이상 관류시켜 배아를 수획하였다.

이식군 (transfer group)은 난자 및 배아를 이식 받은 대리모가 이식 후 36시간 (hCG 주사 후 111~112시간)이 되었을 때 자궁을 적출한 후 자궁경부로부터 1 ml의 phosphate buffered saline (PBS, pH 7.2)을 3회 이상 관류시켜 이식시킨 난자와 배아를 수획하였다.

5. 체외배양 (*In vitro* culture)

체외배양군 (*in vitro* culture group)은 이식군을 위한 동일한 접시에서 획득한 공여 난자나 배아로서 3 mg/ml의 BSA를 함유한 KSOM 배양액이 담긴 조직배양접시 (Tissue culture dish, 60×15 mm, Corning 25010)에서 37°C, 5%의 이산화탄소 (CO₂)와 95%의 공기가 혼합공급되고 100% 습도가 유지되는 배양기 (Cellstar, QWJ500)에서 이식군이 자궁내 환경에 노출되는 기간과 동일하게 36시간 동안 배양하였다.

6. 주사전자현미경 관찰

투명대의 외면 (outer surface)을 주사전자현미경으로 관찰하여 미세구조를 분석하였다. 모든 시료는 0.5% glutaraldehyde (Sigma)가 함유된 PBS로 4°C에서 하루 동안 고정한 후, PBS로 3회 이상 세척하여 0.1%의 poly-L-lysine 용액 (Sigma)으로 얇게 덮인 유리 slide (8 mm×8 mm)에 시료가 건조되지 않도록 주의하여 부착하였다. 시료가 부착된 slide는 0.1% osmium tetroxide (OsO₄)로 1시간 동안 후 고정 (post fixation)하였다. 이렇게 준비된 시료는 일련 농도 (50~100%)의 ethanol (Merk)로 탈수과정 (dehydration)을 거친 후 이산화탄소와 친화력이 좋은 isoamylacetate로 치환한 다음 액화 이산화탄소 임계건조기 (Critical Point Dryer; HITACHI, HCP-2)를 사용하여 건조시켰다. 건조된 시료는 알루미늄 시료 고정대 (specimen holder, stub)에 휘발성 접착제를 이용하여 부착시키고 접착제가 완전히 마르면, 고진공상태에서 이온분사기 (HITACHI, E-1010)를 이용하여 금이온 (Au²⁺)을 20 nm의 두

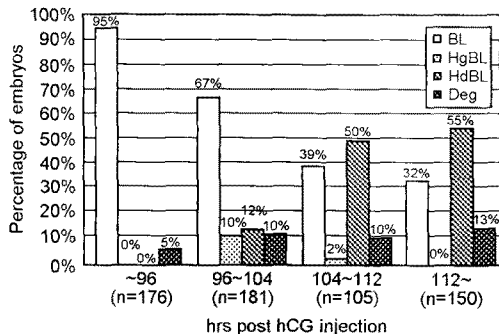


Figure 1. The state of mouse blastocysts retrieved from the uterus (*in vivo* group) according to the times of post-hCG injection. BL; blastocyst, HgBL; hatching blastocyst, HdBL; hatched blastocyst without zona pellucida. Deg; degenerate embryo. n=number of embryos retrieved

께로 시료의 표면에 중착시킨 후 주사전자현미경 (HITACHI, S-2380)으로 15~25 kV의 전압 상에서 관찰하였다.

결 과

1. 정상군 (*In vivo* group)의 부화

본 실험에서 정상군의 경우, hCG 주사 시간을 기준으로 하였을 때, 96시간 이전에는 부화가 전혀 진행되지 않았으며 (0%), 96시간에서부터 104시간 사이에서 부분적으로 투명대를 찢고 나오거나 (10%) 완전히 부화한 포배 (12%)가 관찰되었고, 104시간에서부터 112시간 사이에서 주로 부화가 완전히 진행되어 투명대가 남아있지 않는 포배 (50%)가 관찰되었다. 112시간에서는 대부분의 배아가 부화하였고 (55%) 부화과정에 있는 배아는 전혀 관찰되지 않았으며 부화하지 않은 포배는 주로 수축된 포배였다 (32%) (Figure 1).

2. 정상군의 투명대 미세구조 변화

정상군의 투명대 외면의 미세구조를 살펴보면, 마성숙 난자 (GV oocyte; 46 hrs post PMSG injection)는 완만한 굴곡을 보이는 구멍이 적은 형상 (Figure 2A)이고 배란 난자 (20 hrs post hCG injection)는 방사관 세포 (corona radiata cells)의 세포질 돌기가 자리했던 구멍이 많이 보이는 해면체 구조이었다 (Figure 2B). 2-세포기 배아 (48 hrs post hCG injection)는 굴곡이 심한 망상구조가 더 선명하고 (Figure 3A), 말기 포배 (96 hrs post hCG injec-

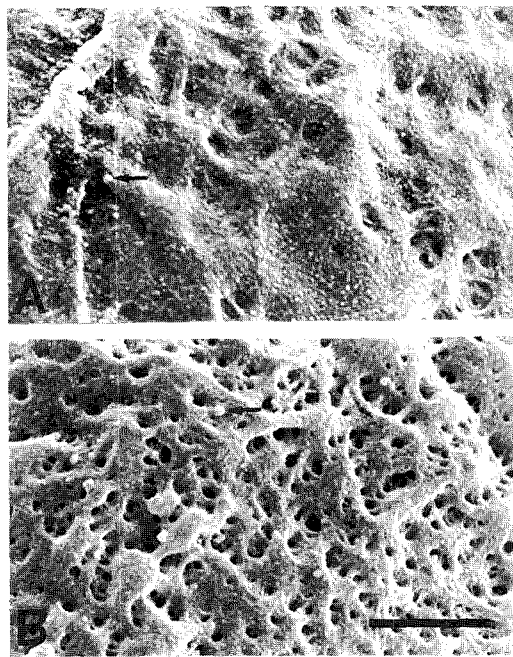


Figure 2. Scanning electron microphotographs of the outer surface of zona pellucida of mouse immature (A) and ovulated oocyte (B). Arrows indicate cumulus derivatives. Scale bar is 2 μ m.

tion)에서는 비교적 표면이 평평해지고 구멍이 매우 작아져 있었다 (Figure 3B). 수축된 포배 (shrunk blastocyst; 112 hrs post hCG injection)에서는 망상구조는 보이지 않고 매끈한 모양이었다 (Figure 3C).

3. 이식군 (Transfer group)의 투명대 미세구조 변화

Figure 1의 결과에 근거하여 hCG 주사 후 96시간까지는 부화는 일어나지 않았으며 112시간 (post hCG injection)에는 충분히 부화가 진행되었다고 판단하고 이를 기준으로 하여 가임신된 (pseudopregnant) 대리모가 hCG 주사 후 76시간이 되었을 때 난자나 배아를 이식하였고, 96시간이나 112시간이 되었을 때 이식군을 관류법으로 수거하였다. 이식된 후 대다수 미성숙 난자 (82%)와 배란 난자 (84%)는 퇴화되었고, 이식된 2-세포기 배아는 대리모의 자궁으로 이식된 후 대리모가 hCG 주사 후 96시간이 되었을 때 (이는 20시간 동안 자궁 환경에 노출된 때) 초기 포배기까지 발생이 진행되었으나 부화가 진행된 것은 없었고, 112시간 (36시간 동안 자궁 환경에 노출된 때)에서도 거의

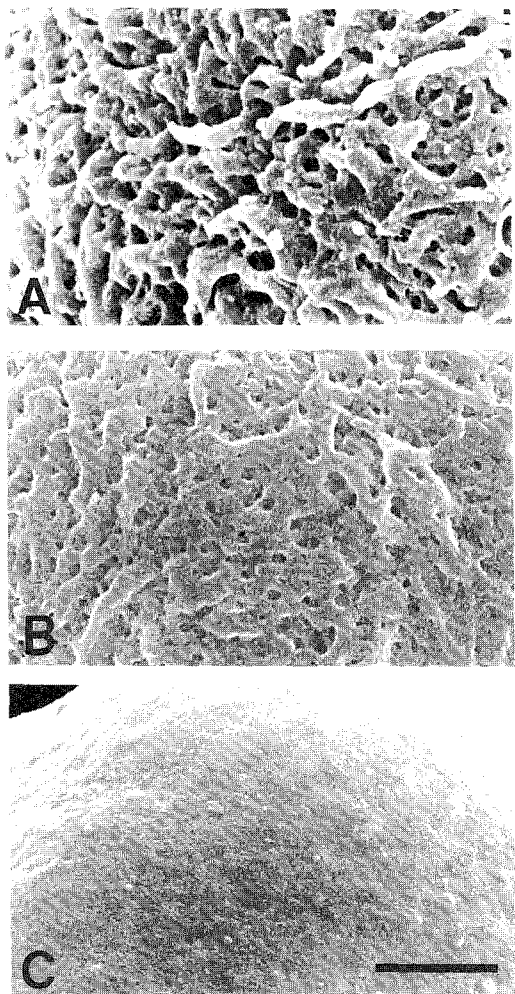


Figure 3. Scanning electron microphotographs of outer surface of zona pellucida of mouse 2-cell (48 hrs post hCG injection) (A), expanded blastocyst (96 hrs post hCG injection) (B) and shrunk blastocyst (112 hrs post hCG injection) (C) *in vivo*. Scale bar is 2 μ m.

전부가 부화되지 않았으며 체외배양군과 비교하였을 때 대부분이 발생을 진행하지 못하였다 (Table 1).

이들 이식군의 투명대 미세구조를 살펴보면 2-세포기의 배아의 경우, 정상군이 부화가 진행되기 전인 hCG 주사 후 96시간에 수획된 배아의 투명대는 평평한 해면체 구조로서 구멍이 보이지만 (Figure 4C) 112시간에 수획한 배아는 구멍이 거의 사라지거나 매우 매끈한 모양이다 (Figure 4A). 112시간에 수획한 이식군의 미성숙 난자와 배란

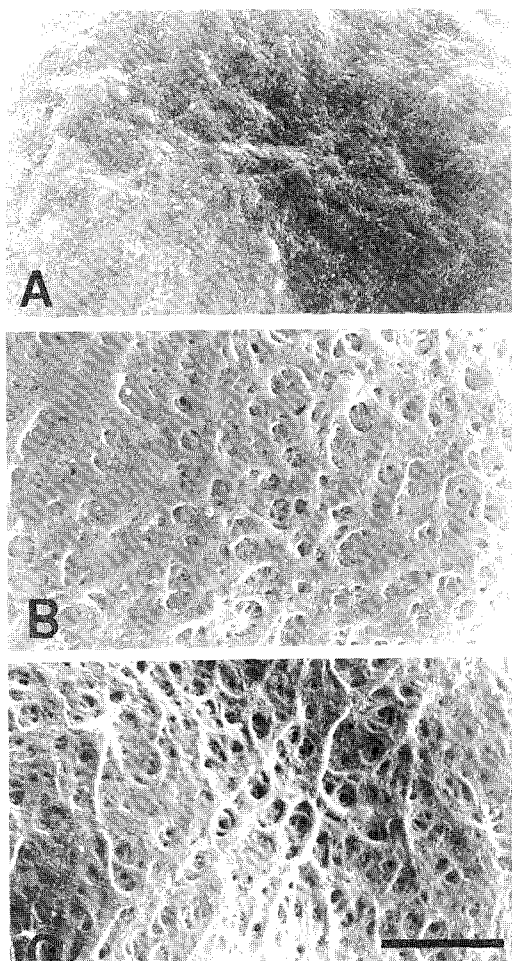


Figure 4. Scanning electron microphotographs of the outer surface of zona pellucida of mouse embryo transferred to uterus (A, C) and cultured *in vitro* (B). A, Blastocyst developed from the 2-cell embryo which was exposed to uterus for 36 hrs, when foster mothers was at 76~112 hrs post hCG injection; B, Morula cultured from 2-cell embryo for 36 hrs; C, 4-cell embryo developed from the 2-cell embryo which was exposed to uterus for 20 hrs, when foster mother was at 76~96 hrs post hCG injection. Scale bar is 2 μ m.

난자의 투명대도 전체적으로 매끈한 모양이지만 미성숙 난자의 것이 조금 더 거칠은 형상을 나타내었다 (Figures 5A and 6A).

4. 체외배양군 (*In vitro* group)의 투명대 미세구조 변화

체외배양군은 이식군이 자궁 환경내에 노출되

Table 1. The Development of the 2-cell embryos transferred to uterus (A) and cultured *in vitro* (B)

Exp. group	No. of embryos	No. (%) of embryos			Developed to			
		2C	3-4C	5-8C	M	BL	HdBL	Deg
A	29 ^a	7 (24.1)	5 (17.2)	0 (0.0)	4 (13.8)	1 (3.5)	1 (3.5)	11 (37.9)
B	30 ^b	0 (0.0)	0 (0.0)	0 (0.0)	22 (73.3)	8 (26.7)	0 (0.0)	0 (0.0)

Embryos were exposed to uterus for 36 hrs, when foster mothers were at 76~112 hrs post hCG injection (A) and embryos were cultured for 36 hrs (B). a: Number of embryos recovered after transfer. b: Number of embryos cultured. Abbreviations: C; cell, M; morula, BL; blastocyst, HdBL; hatched blastocyst, Deg; degenerate embryo.

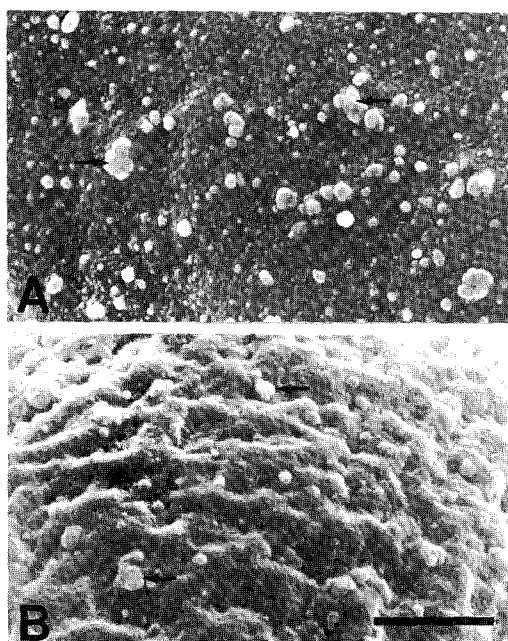


Figure 5. Scanning electron microphotographs of the outer surface of zona pellucida of ovulated oocyte transferred to uterus (A) and cultured *in vitro* (B). A, Oocyte degenerated from the ovulated oocytes (MII) which was exposed to uterus for 36 hrs, when foster mother was at 76~112 hrs post hCG injection; B, Degenerate oocyte cultured from ovulated oocyte for 36 hrs. Arrows indicate cumulus derivatives. Scale bar is 2 μ m.

는 시간과 동일하게 36시간 동안 체외배양하였다. 이때 체외배양군의 난자 및 배아는 이식군과 동일한 암컷에서 획득한 것들이었다. 말기 2-세포기의 배아는 포배강이 형성되기 시작하는 초기 포배 (26.7%)와 상설배 (73.3%)로 발생하였고 (Table 1), 미성숙 난자와 배란 난자는 대부분이 퇴화하였다.

이들 체외배양군의 투명대 외면의 미세구조는

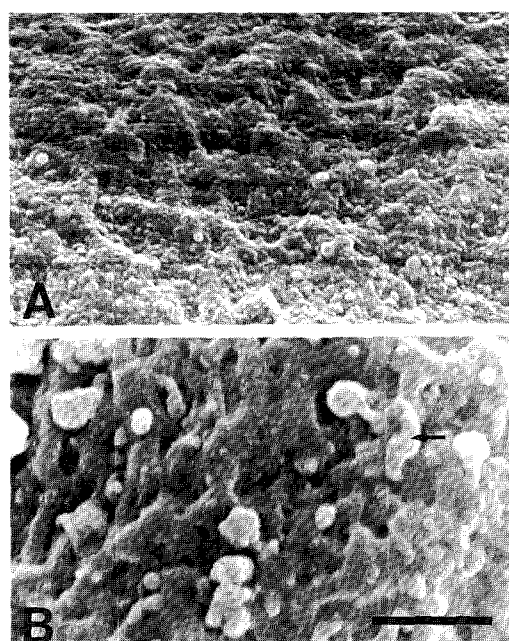


Figure 6. Scanning electron microphotographs of outer surface of zona pellucida of immature oocyte transferred to uterus (A) and cultured *in vitro* (B). A, Oocyte degenerated from the immature oocytes (GV) which were exposed to uterus for 36 hrs, when foster mother was at 76~112 hrs post hCG injection; B, Degenerate oocyte cultured from GV stage for 36 hrs. Arrows indicate cumulus derivatives. Scale bar is 2 μ m.

이식군의 것과는 다른 양상을 나타내었다. 2-세포기에서부터 36시간 동안 배양되어 상설기 (morula)에 도달한 배아의 투명대 외면은 해면체 모양으로 구멍이 크고 망상구조의 연결이 부드럽게 보였다 (Figure 4B). 배양된 미성숙 난자는 망상구조가 굽고 굴곡이 있는 모양으로 변하였고 (Figure 5B), 배란 난자는 망상구조의 구멍이 없어지는 양상을 나타내었다 (Figure 6B).

고 찰

포유류 배아의 부화기작으로는 포배강의 확장에 의한 팽압설과 단백질 분해요인에 의한 용해설 두 가지가 있는데, 팽압은 부화와는 무관한 것으로 보고되고 있으며 (Gordon and Dapunt, 1993) 부화에 관련된 여러 가지 단백질 분해효소들은 계속 발견되고 있다.

특히 체외 배양기술의 발달로 말미암아 배아 자체에서 분비하는 부화인자들에 관하여 많은 것들이 밝혀졌다. 포배의 영양외배엽에서 분비하는 trypsin, tissue type plasminogen activator, hepsin, metalloproteinase 등과 같은 단백질 분해효소와 포배에서 급격히 발생하는 oxyradical은 투명대를 직접 용해하는 것으로 보고되었다 (Caroline *et al.*, 1996; Perona and Wassarman, 1986; Thomas *et al.*, 1997; Vu *et al.*, 1997). 그러나, 체외에서 배양한 배아의 부화현상과 체내에서의 부화현상은 상당히 다른 것으로 알려져 있으며 (McLaren, 1970), 생체 모델 (*in vivo model*)로서 부화에 관한 초창기 연구에서는 자궁의 내분비학적 환경 변화에 따라 투명대가 사라지는 현상 (zona pellucida lysis)은 착상기간을 전후하여 증가된 자궁액의 단백질 분해 능력 (proteolytic activity)에 의한 것이며 (Pinsker *et al.*, 1974), 이런 현상은 생쥐의 경우 estrogen에 의존적이고 (Orsini and McLaren, 1967; McLaren, 1970) 햄스터 및 토끼에서는 progesterone에 의존적인 것으로 보고되었다 (Gonzales and Bavister, 1995).

최근에 다시 체내 (*in vivo*) 환경의 중요성이 대두되면서 이 방향으로 연구가 진행되고 있다 (Gonzales and Bavister, 1995; Lee *et al.*, 1997). 특히, 사람의 불임 치료를 위한 IVF-ET (*in vitro* fertilization-embryo transfer) 시술과정에서 배아의 체외배양은 불가피한데 이때 일어나는 투명대의 경화현상 (zona hardening)은 부화율 감소의 원인이 되며 이는 임신의 성공 여부와 직접적으로 관련되어 있다. 따라서 생체내 부화기작을 명확히 밝히는 것은 착상과 임신을 조절하고 개선하는데 매우 중요하다 (Gordon and Dapunt, 1993a and b).

본 연구에서는 부화에서의 자궁의 영향을 조사하기 위해 부화가 일어나는 착상기간의 자궁에 발생시기가 일치하지 않는 난자와 초기 배아를 이식하므로써 자궁 환경이 배아의 발생시기와 무

관하게 부화를 일으킬 수 있는지를 알아보았다.

부화는 hCG 주사 후 102시간에서부터 개시되어 몇 시간 이내에 완결되는 것으로 관찰되었으며 이 결과는 이전의 보고와 유사하였다 (Thomas *et al.*, 1997) (Figure 1). 실험결과에서 보면 hCG 주사 후 96시간이 되기 이전에는 대리모의 자궁내에서 특별한 부화인자가 발현되지 않고 그 이후에는 발현되어 부화가 충분히 진행되었다고 판단하였다. 그러나 112시간 (post hCG injection)에도 부화되지 못하고 잔류해 있는 수축된 포배 (shrunk blastocyst)나 상실배와 같은 배아들이 정상군에서 관찰되었는데, 이는 배란 유도를 위해서 PMSG나 hCG와 같은 외래 호르몬을 과량 주사하였을 때 나타나는 배아의 비정상적인 발생과 투명대의 경화현상 (Miller and Armstrong, 1981a and b; Lim *et al.*, 1997)에 기인한 것으로 추측된다.

자궁내에 이식한 미성숙 난자와 배란 난자는 대다수가 퇴화 (degeneration)하거나 절편화 (fragmentation) 되었고, 이식된 2-세포기 배아는 발생이 지연되거나 정지되는 경향을 보였으며 일부 정상 발생을 진행한 경우에도 부화가 된 것은 극소수였고 이것을 제외하고는 어느 이식군도 투명대가 사라진 것은 없었다 (Table 1). 이상의 결과는 착상기간 자궁내에 조성된 환경만으로는 투명대가 사라지지 않으며 최소한 포배기 (blastula)에 도달한 배아만이 부화할 수 있는 능력을 가진다고 추정할 수 있고, 배아에서 기원한 부화에 관련된 여러 가지 효소들이 포배기에서부터 발현된다는 사실이 이를 뒷받침한다 (Perona and Wassarman, 1986; Sawada *et al.*, 1990; Strickland *et al.*, 1976).

정상군의 투명대 미세구조 변화를 관찰한 결과, 생쥐의 투명대는 난자의 성숙과 발생에 따라 변화하였고, 이전의 보고와 유사한 결과를 얻어내었고, 미성숙 난자와 배란 난자에서 보이는 투명대 구조의 변화는 정자와 수정할 수 있는 수정능력과 관련이 있을 것으로 보고되었다 (Familiari *et al.*, 1992).

체외배양군의 투명대 미세구조와 이식군은 매우 다른 양상을 보였다. 2-세포기 배아를 이식한 군들은 36시간 동안 착상기간 전후의 자궁내 환경에 노출된 후 포배, 상실배, 4-세포기 등 다양한 발생양상을 보였는데 이들의 투명대 미세구조 (Figure 4A)는 초기의 2-세포기 모양과는 달리 미세한 망상구조가 보이지 않고 전체적으로 망상

구조가 용해되어 구멍이 사라진 것으로 관찰되었고 이는 정상군에서 post hCG 112시간에 존재하던 수축된 포배의 투명대 구조 (Figure 3C)와 유사하였다. 반면에 같은 시간 동안 체외배양한 2-세포기 배아는 초기 포배와 상실배로 발생하였지만 이들의 투명대 구조에서는 망상구조의 구멍이 잘 관찰되었다 (Figure 4B). 이식한 미성숙 난자와 배란 난자는 역시 이식한 2-세포기 배아처럼 전체적으로 매끈한 모양으로 망상구조와 구멍은 관찰되지 않았다 (Figures 5A and 6A). 반면 체외배양한 배란 난자는 퇴화하면서 미세한 망상구조가 서로 융합된 듯이 보였고 (Figure 5B), 미성숙 난자는 비록 퇴화하는 과정이었지만 망상구조가 나타났다 (Figure 6B). 이는 미성숙 난자가 체외에서 성숙 (maturation) 되는 동안 배란 난자와 유사한 투명대 구조를 갖게 되는 것으로 추정된다 (Familiari, 1992).

착상기간의 자궁내 환경은 배아의 발생시기와는 무관하게 배아의 투명대 구조를 평평하게 변화시킨 것으로 관찰되었다 (Figure 4A, 5A and 6A). 자궁내의 어떠한 요인의 난자와 배아의 투명대 미세구조를 변화시켰는지 본 연구에서 밝힐 수 없었지만 투명대를 용해시키는 요인으로는 높은 온도, 낮은 pH와 투명대 구조 사이의 공유결합을 파괴하는 protease, dithiothreitol 등이 알려져 있다 (Robert and Steven, 1995). 이들 중 자궁에서 분비하는 protease가 가장 유력한 요인으로 추정되는데, 착상기간 중 생쥐 자궁액의 단백질 분해능력이 증가되고 (Pinsker *et al.*, 1974), 생쥐 배아의 배액에 protease를 첨가하면 부화율이 증가한다고 하였다 (Lee *et al.*, 1997). 따라서 자궁에서 분비되는 단백질 분해효소들은 배아의 발생상태와 무관하게 투명대의 구조를 평평하게 변화시키며, 이 때 배아의 발생 단계가 적절치 않은 경우 부화에는 충분하지 않은 것으로 사료된다.

결론적으로 착상기간의 자궁내 환경은 투명대 구조를 변화시키므로써 부화를 용이하게 하지만 부화현상에는 배아 자체요인에 의한 투명대의 변화가 반드시 수반되어야 하는 것으로 사료된다. 앞으로 착상을 전후하여 자궁에서 분비된 부화요인에 대한 분석과 부화과정에서 배아와 자궁간의 신호전달기작에 관하여 보다 많은 연구가 진행되어야 할 것이다.

감사의 말씀

본 실험에서 주사전자현미경을 이용하는데 많

은 기술적 지원과 조언을 해주신 권중균 선생님 (한양대학교 의과대학 전자현미경실)께 깊은 감사를 드립니다. 본 연구는 1998년도 교육부 기초 과학육성연구비 (98-015-D00241)의 지원으로 이루어짐.

참 고 문 헌

- Caroll EI and Hedrick JL. Hatching in the toad *Xenopus laevis*: Morphological events and evidence for a hatching enzyme. *Devel Biol* 1974; 38: 1-13.
- Cheon YP, Gye MC, Kim CH, and Kim MK. Effects of Indomethacin on development and hatching of mouse embryo. *Kor J Fertil Steril* 1997; 24 (1): 35-42.
- Confino E, Rawlins R, Binor Z, and Radwanska E. The effect of the oviduct, uterine, and *in vitro* environments on zona thinning in the mouse embryo. *Reprod Fertil Steril* 1997; 68(1): 164-7.
- Edwards BF, Allen WR, and Barret D. Purification and partial characterization of hatching protease of the sea urchin, *Strongylocentrotus purpuratus*. *Arch Biochem Biophys* 1977; 182: 696-704.
- Gonzales DS and Bavister BD. Zona pellucida escape by hamster blastocyst *in vitro* is delayed and morphologically different compared with zona escape *in vivo*. *Biol Reprod* 1995; 52: 470-80.
- Gordon JW, and Dapunt U. A new mouse model for embryos with a hatching deficiency and its use to elucidate the mechanism of blastocyst hatching. *Fertil Steril* 1993; 59(6): 1296-301.
- Familiari G, Nottola SA, Macchiarelli G, Micara G, Aragona C, and Motta PM. Human zona pellucida during *in vitro* fertilization: An ultrastructural study using saponin, ruthenium red, and osmium-thiocarbohydrazide. *Mol Reprod Dev* 1992; 32: 51-61.
- Fulton BP and Whittingham DG. Activation of mammalian oocytes by intracellular injection of calcium. *Nature* 1978; 273: 149-51.
- Katagiri C. Properties of the hatching enzyme from frog embryos. *J Exp Zool* 1976; 193: 109-18.
- Lawitts JA and Biggers JD. Culture of preimplantation embryos. In: Wasserman PM, DePanphilis

- ML, editors. *Methods In Enzymology*. Vol. 225, San Diego, CA: Academic Press; 1993. p. 153-164.
- Lee DR, Lee JE, Yoon HS, Lee HJ, Kim MK and Roh SI. The supplementation of culture medium with protease improves the hatching rate of mouse embryos. *Hum Reprod* 1997; 12(11): 101-6.
- Lim CK, Kim JW, Lee HJ, and Yoon YD. Ovulation rate and early embryonic development of mouse atretic follicular oocytes induced by high-dose gonadotropin. *Dev Reprod* 1997; 1(1): 67-77.
- McLaren A. The fate of the zona pellucida in mice. *J Embryol Exp Morph* 1970; 23(1): 1-19.
- Miller BG and Armstrong DT. Superovulatory dose of pregnant mare serum gonadotropin cause delayed implantation and infertility in immature rats. *Biol Reprod* 1981a; 25: 253-60.
- Miller BG and Armstrong DT. Effect of superovulatory dose of pregnant mare serum gonadotropin on ovarian function, serum estradiol and progesterone levels and early embryo development in immature rats. *Biol Reprod* 1981b; 25: 261-71.
- Orsini MW and McLaren. Loss of the zona pellucida in mice, and the effect of tubal ligation and ovariectomy. *J Reprod Fert* 1967; 13: 485-99.
- Perona RM and Wassarman P. Mouse blastocysts Hatch *in vitro* by using a trypsin-like proteinase associated with cells of mural trophectoderm. *Dev Biol* 1986; 114: 42-52.
- Pinsker MC, Sacco AG, and Mintz B. Implantation-associated proteinase in mouse uterine fluid. *Dev Biol* 1974; 38: 285-90.
- Robert G and Steven A. Principles and practice of assisted human reproduction. W. B. saunders company; 1995. p. 293-297.
- Sawada H, Yamazaki K, Hoshi M. Trypsin-like hatching protease from mouse embryos: evidence for the presence in culture medium and its enzymatic properties. *J Exp Zool* 1990; 254(1): 83-7.
- Schiwe MC, Hazeleger NL, Scimenti C, and Balmaceda JP. Physiological characterization of blastocyst hatching mechanisms by use of a mouse antihatching model. *Fertil Steril* 1995; 63(2): 288-94.
- Strickland S, Reiche E, and Sherman MI. Plasminogen activator in early embryogenesis: enzyme production by trophoblast and parietal endoderm. *Cell* 1976; 9: 231-40.
- Thomas M, Jain S, Kumar GP, and Laloraya M. A programmed oxyradical burst causes hatching of mouse blastocysts. *J Cell Sci* 1997; 110: 1597-602.
- Vu T-KH, Liu RW, Haaksma CJ, Tomasek JJ and Howard EW. Identification and cloning of membrane-associated serine protease, hepsin, from mouse preimplantation embryos. *J Biol Chem* 1997; 272(50): 31315-20.
- Wassarman PM. Zona pellucida glycoprotein. *Annu Rev Biochem* 1988; 57: 415-42.
- Wassarman PM. Zona pellucida glycoproteins: regulators of mammalian fertilization. In: Evers, JHL Heineman MJ, editors: "From Ovulation to Implantation." Amsterdam: Elsevier Science Publisher; 1990. p. 239-250.
- Yamagami K. Isolation of choriolytic enzyme (hatching enzyme) of the teleost, *Oryzias latipes*. *Dev Biol* 1972; 29: 343-8.
- Yasumasu I. Crystallization of hatching enzyme of the sea urchin, *Anthocidaris crassispina*. *Sci. Papers Coll. Gen. Educ. Univ. Tokyo*. 1961; 11: 275-80.